

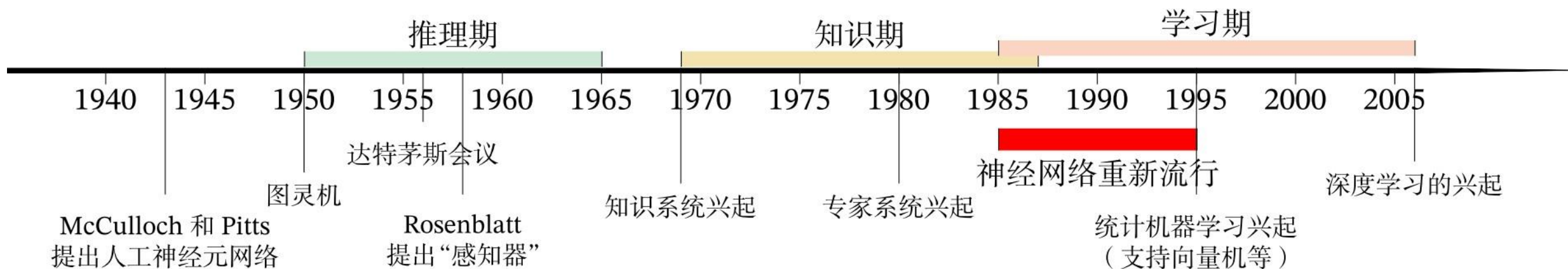
NEURAL NETWORKS AND DEEP LEARNING

神经网络与深度学习

Neural Networks

神经网络基础

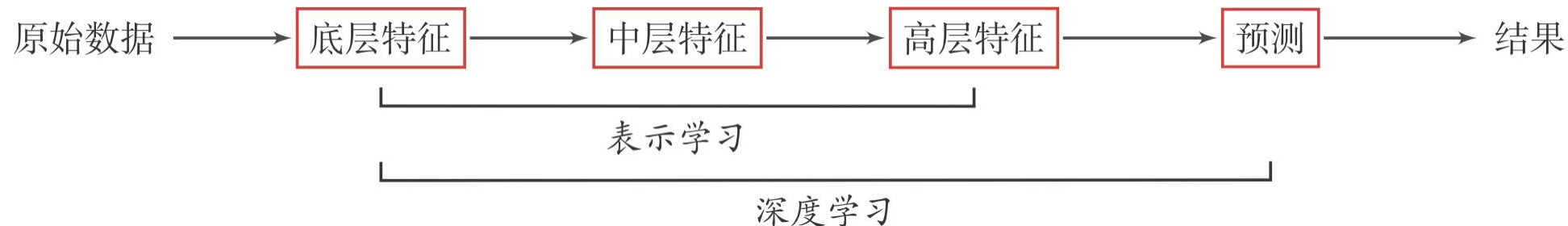
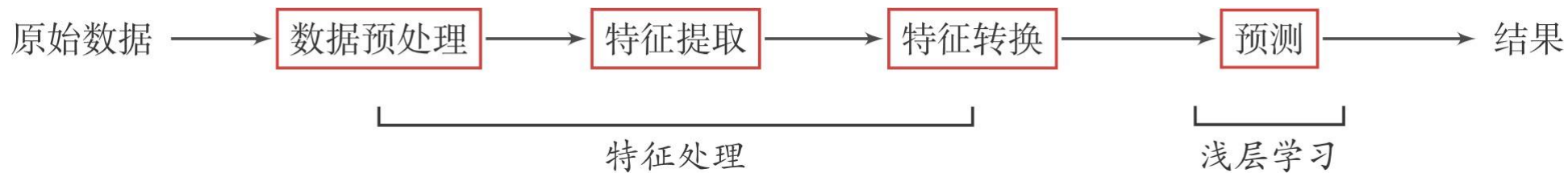
历史



历史

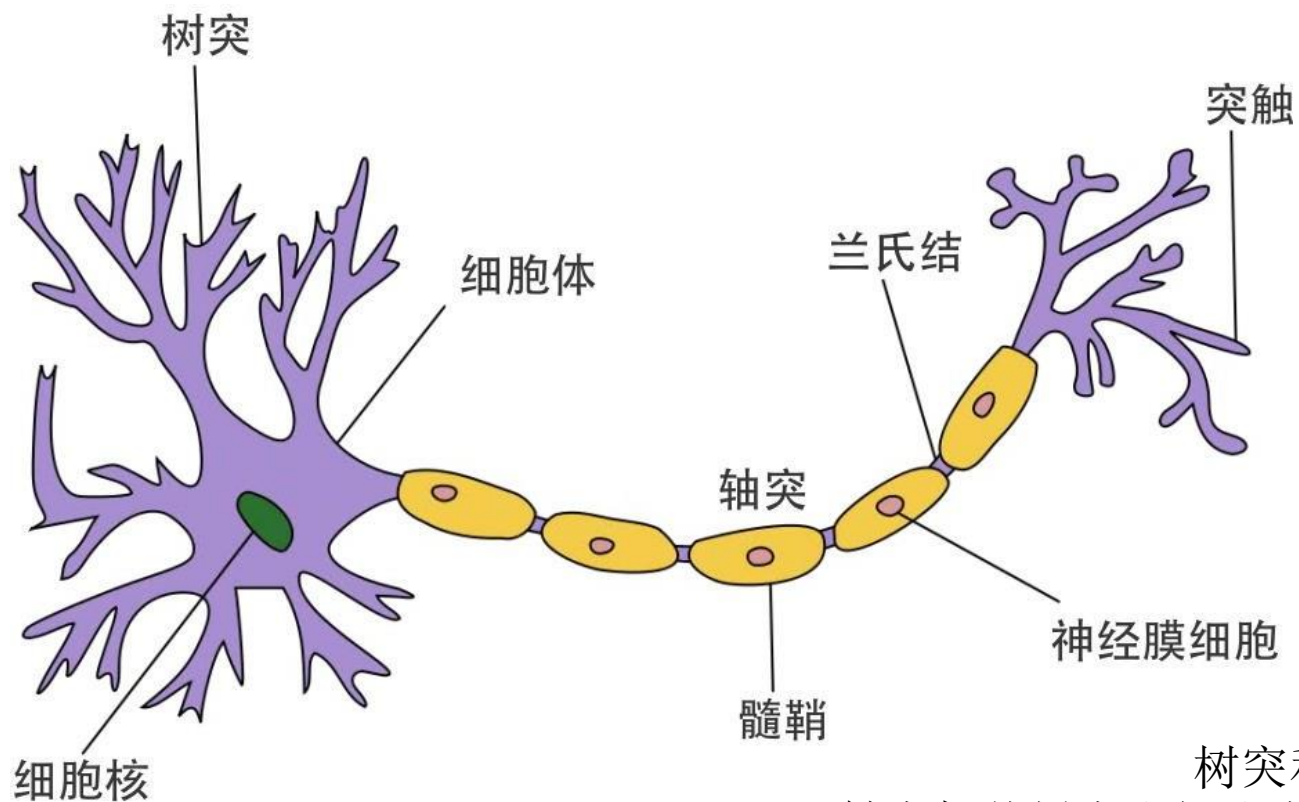
机器学习 → 表示学习

分阶段学习 → 端到端学习



神经元

每个神经元与其他神经元相连，当它“兴奋”时，就会向相连的神经元发送化学物质，从而改变这些神经元内的电位；如果某神经元的电位超过了一个“阈值” (threshold), 那么它就会被激活，即“兴奋”起来，向其他神经元发送化学物质.

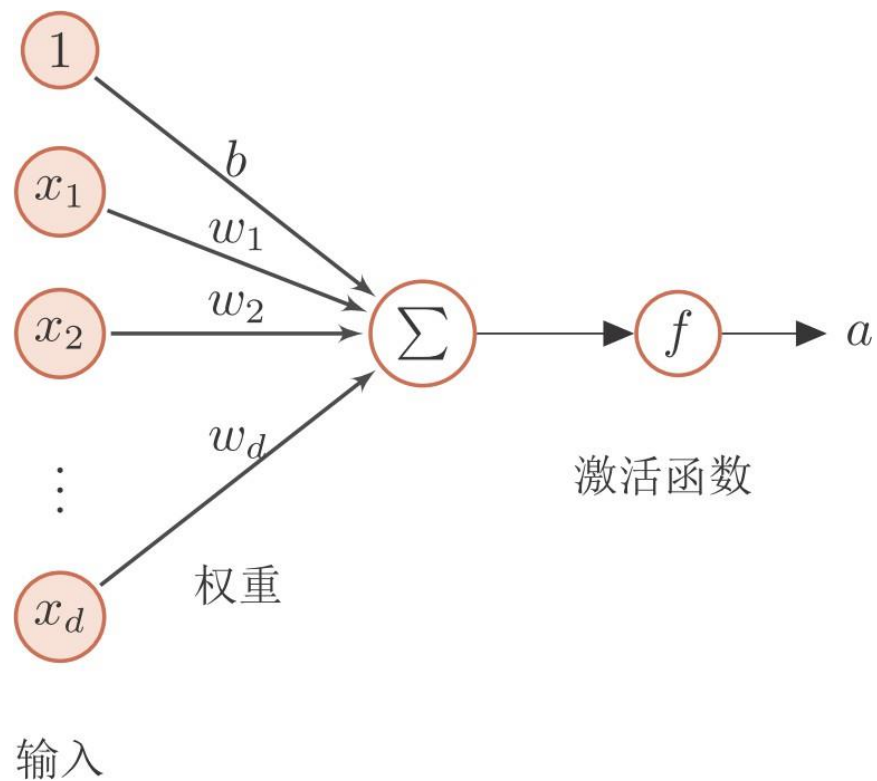


树突和细胞体的表膜都有接受刺激的功能
轴突把从树突和细胞表面传入细胞体的神经冲动传出到其他神经元或效应器

神经元

[McCulloch and Pitts, 1943] 设计了“M-P 神经元模型”来模拟生物神经系统的神经元功能。

★偏置 bias 有时候也会被用阈值来刻画，两者等价。



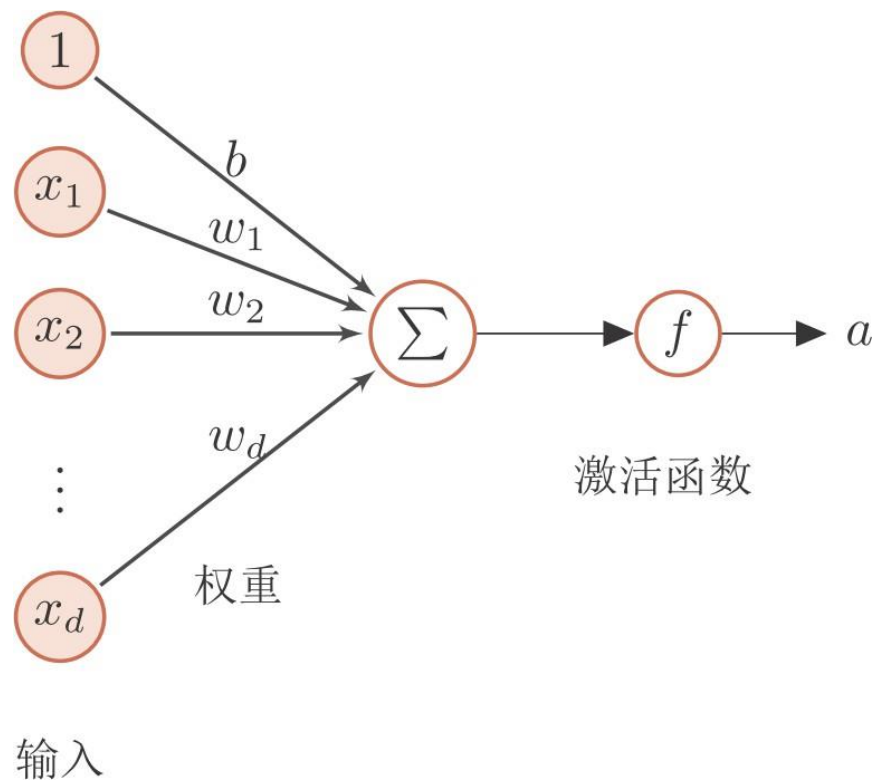
★ 阶跃型激活函数（在阈值处不可导，不是连续可微的，i. e., 得不到梯度）

$$\sigma(\mathbf{w}^\top \mathbf{x} + b) = \begin{cases} \mathbf{w}^\top \mathbf{x} + b \geq 0 & \rightarrow 1 \\ \mathbf{w}^\top \mathbf{x} + b < 0 & \rightarrow 0 \end{cases}$$

神经元

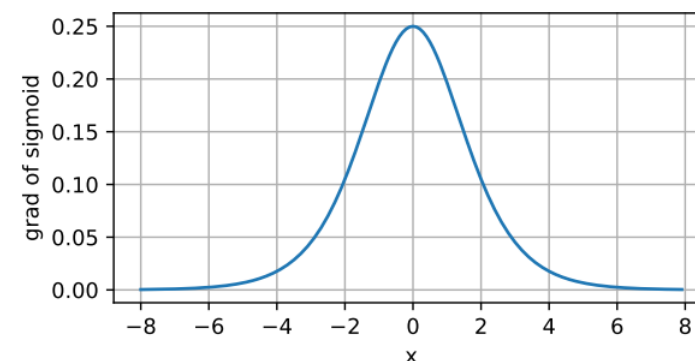
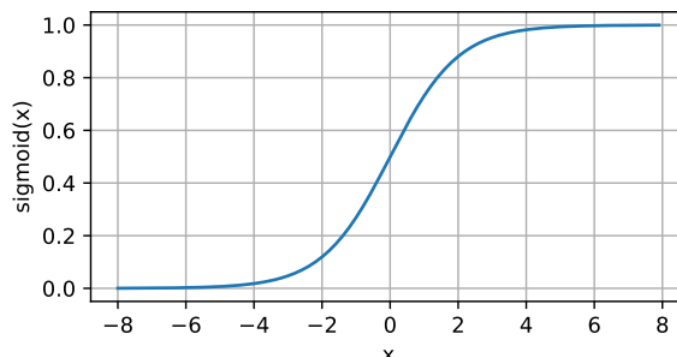
[McCulloch and Pitts, 1943] 设计了“M-P 神经元模型”来模拟生物神经系统的神经元功能。

★偏置 bias 有时候也会被用阈值来刻画，两者等价。



★ Sigmoid 型激活函数

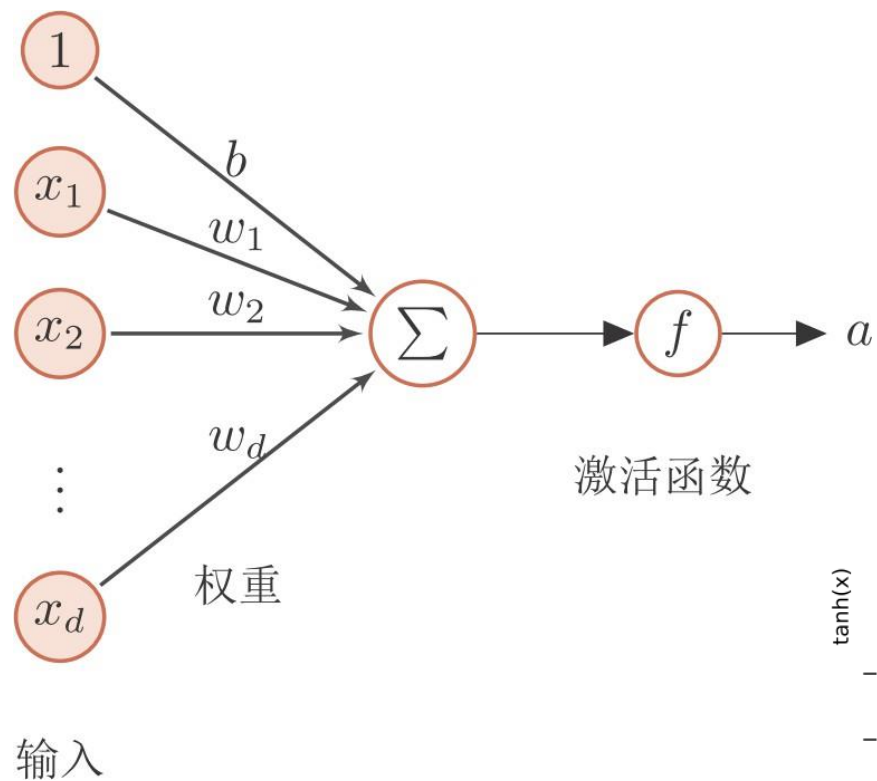
$$\sigma(\mathbf{w}^\top \mathbf{x} + b) = \frac{1}{1 + \exp(-(\mathbf{w}^\top \mathbf{x} + b))}$$



神经元

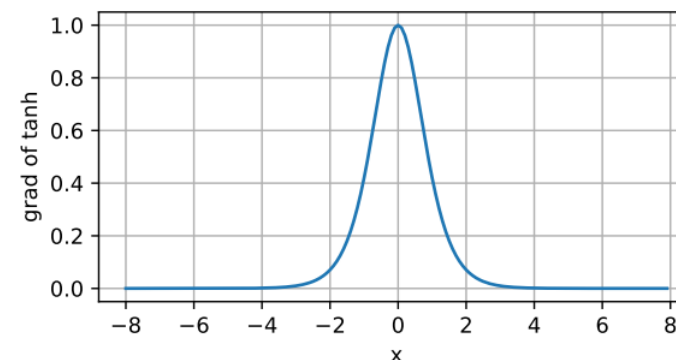
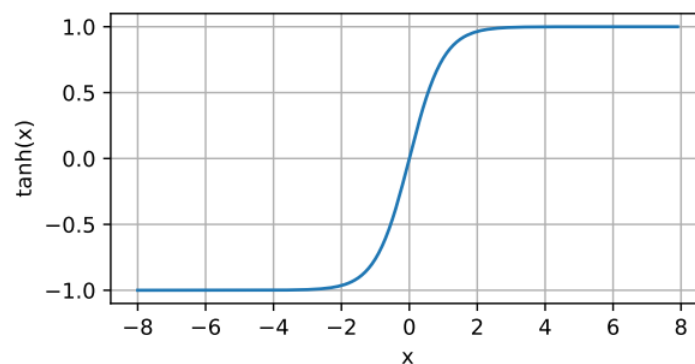
[McCulloch and Pitts, 1943] 设计了“M-P 神经元模型”来模拟生物神经系统的神经元功能。

★偏置 bias 有时候也会被用阈值来刻画，两者等价。



★ 双曲正切型激活函数

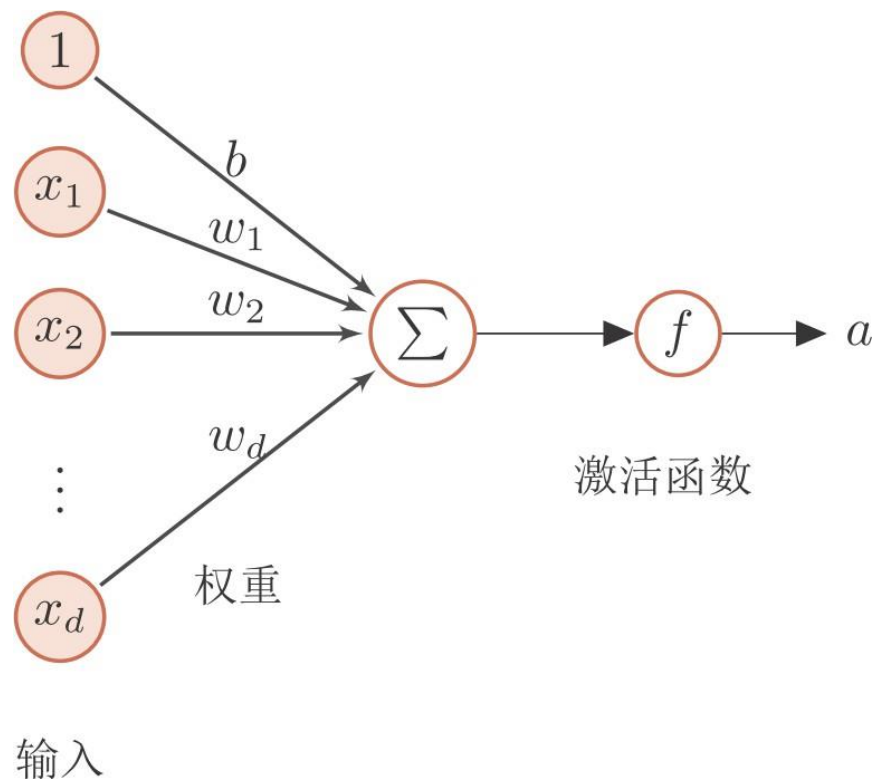
$$\tanh(z) = \frac{\exp(z) - \exp(-z)}{\exp(z) + \exp(-z)}$$



神经元

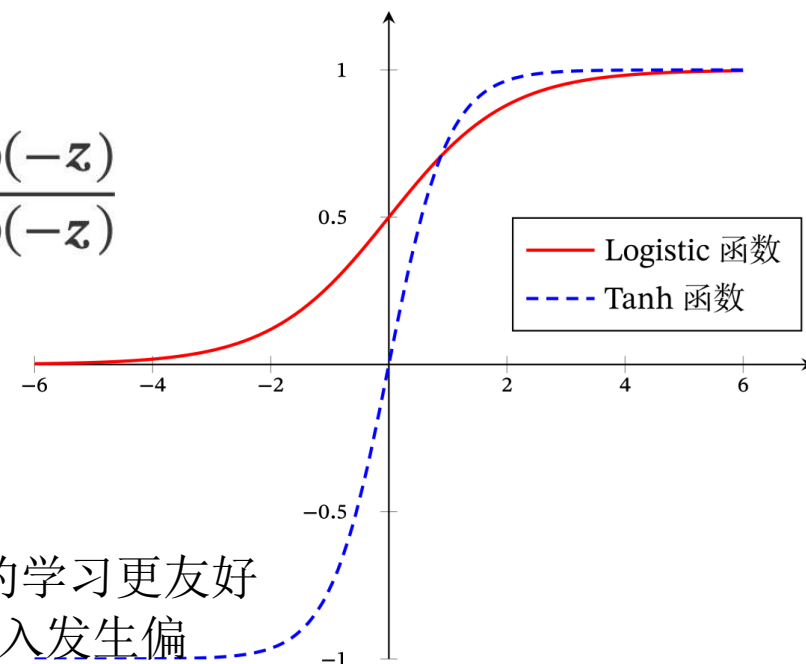
[McCulloch and Pitts, 1943] 设计了“M-P 神经元模型”来模拟生物神经系统的神经元功能。

★偏置 bias 有时候也会被用阈值来刻画，两者等价。



★ 双曲正切型激活函数

$$\tanh(z) = \frac{\exp(z) - \exp(-z)}{\exp(z) + \exp(-z)}$$

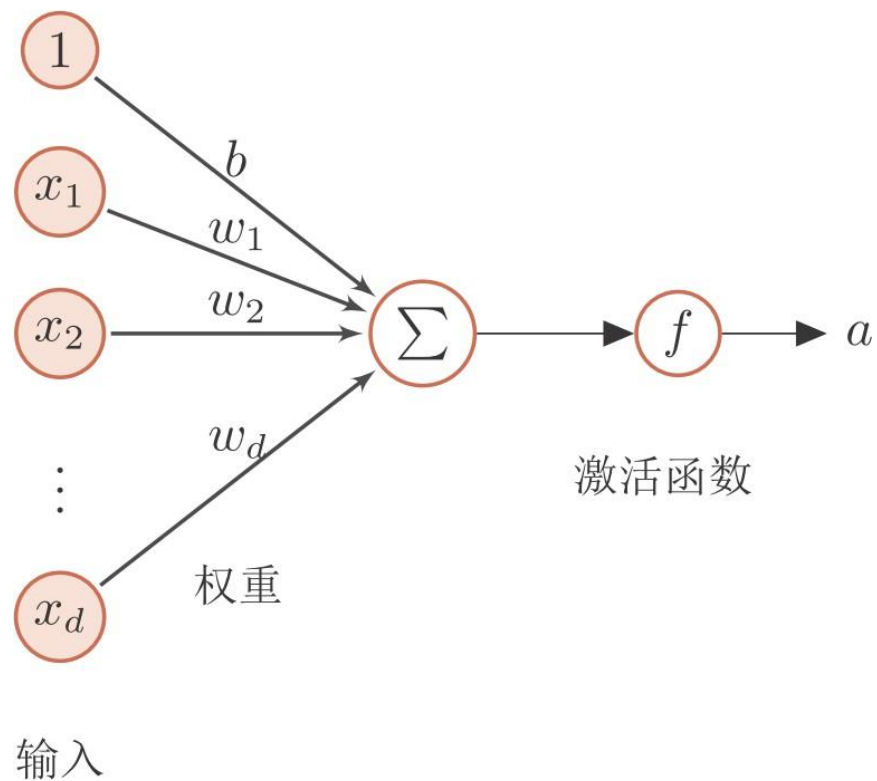


零中心化的输出将对神经网络的学习更友好
(否则会导致下一层神经元的输入发生偏移，影响梯度更新收敛速度和效率)

神经元

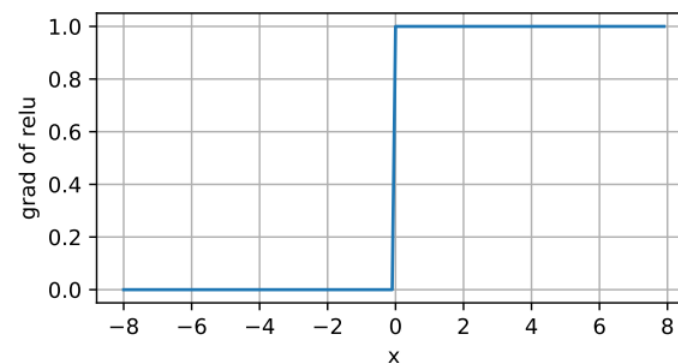
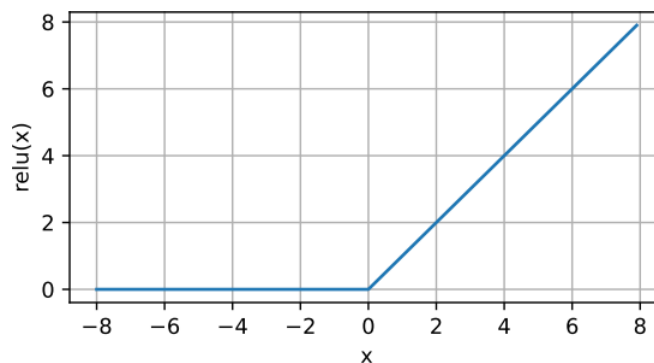
[McCulloch and Pitts, 1943] 设计了“M-P 神经元模型”来模拟生物神经系统的神经元功能。

★ 偏置 bias 有时候也会被用阈值来刻画，两者等价。



★ 修正线性单元 (Rectified Linear Unit, ReLU)

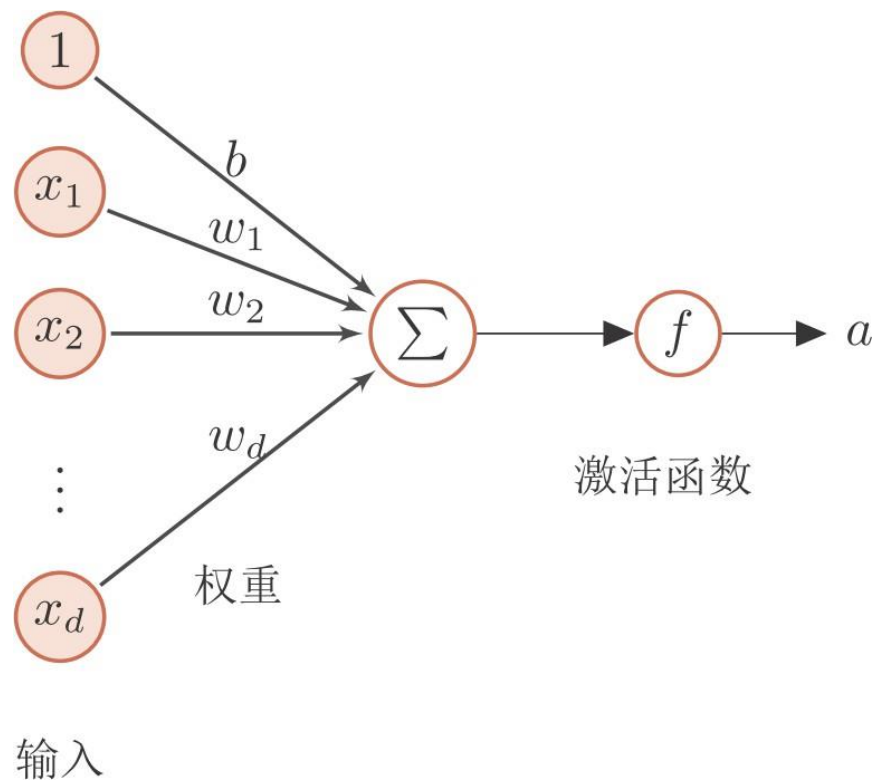
$$\text{ReLU}(z) = \max(0, z)$$



神经元

[McCulloch and Pitts, 1943] 设计了“M-P 神经元模型”来模拟生物神经系统的神经元功能。

★ 偏置 bias 有时候也会被用阈值来刻画，两者等价。



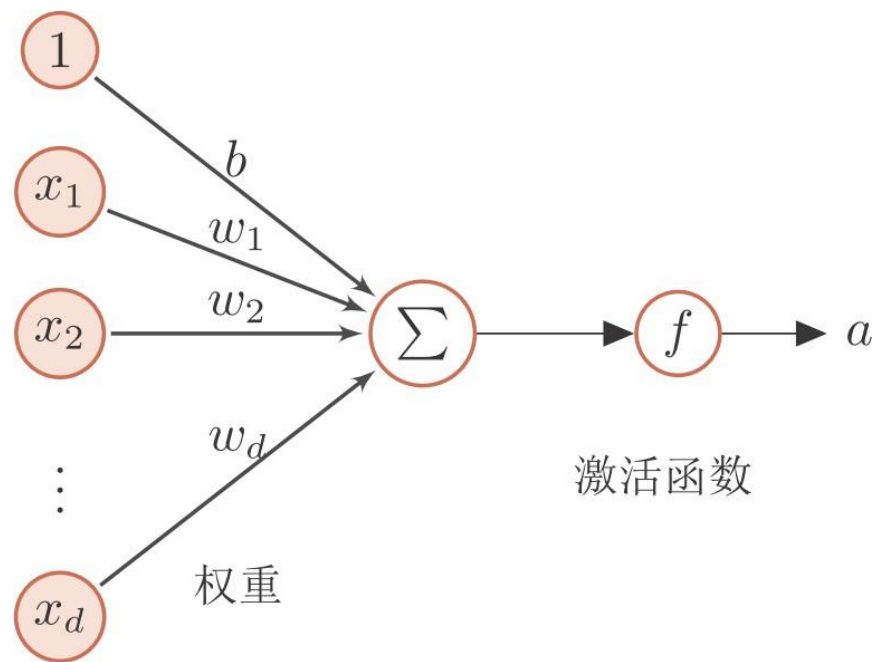
★ 带泄露的ReLU (LeakyReLU)

$$\text{LeakyReLU}(x) = \begin{cases} x & \text{if } x > 0 \\ \gamma x & \text{if } x \leq 0 \end{cases}$$
$$= \max(0, x) + \gamma \min(0, x)$$

神经元

[McCulloch and Pitts, 1943] 设计了“M-P 神经元模型”来模拟生物神经系统的神经元功能。

★偏置 bias 有时候也会被用阈值来刻画，两者等价。



★ 指数线性单元 (Exponential Linear Unit, ELU)

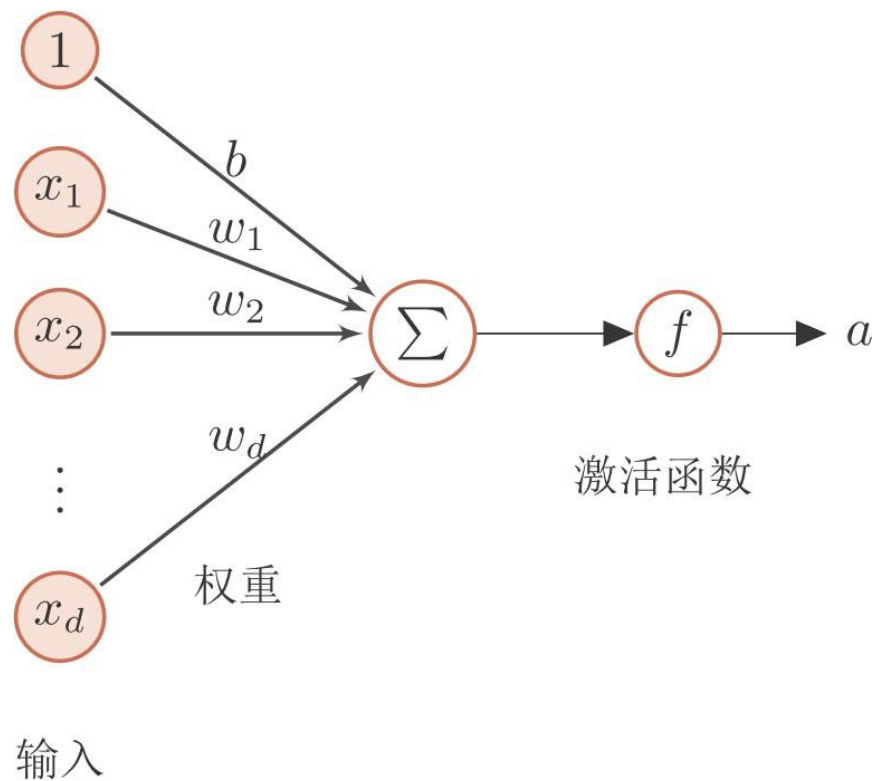
$$\text{ELU}(x) = \begin{cases} x & \text{if } x > 0 \\ \gamma(\exp(x) - 1) & \text{if } x \leq 0 \end{cases}$$
$$= \max(0, x) + \min(0, \gamma(\exp(x) - 1))$$

<https://pytorch.org/docs/stable/generated/torch.nn.ELU.html>

神经元

[McCulloch and Pitts, 1943] 设计了“M-P 神经元模型”来模拟生物神经系统的神经元功能。

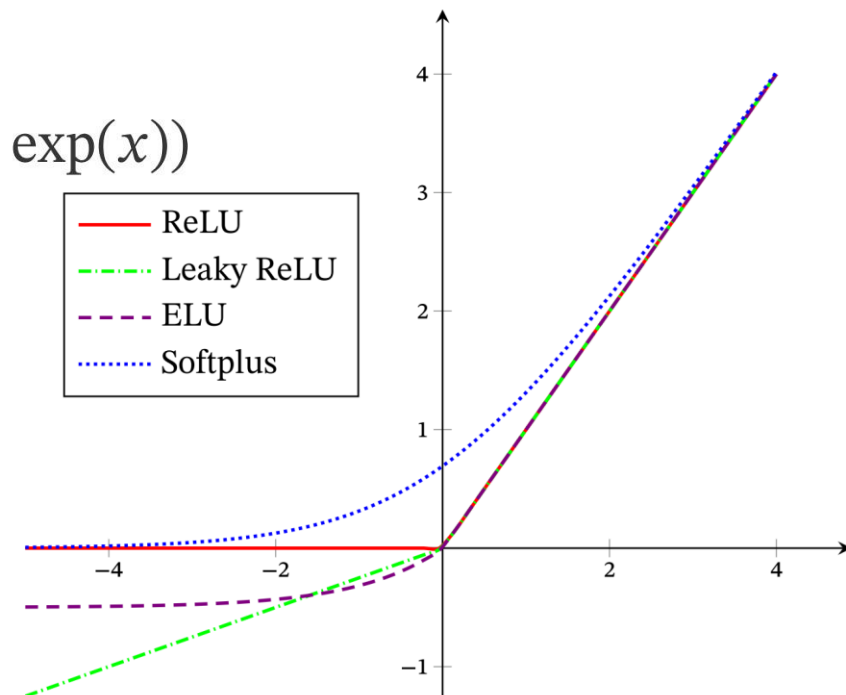
★偏置 bias 有时候也会被用阈值来刻画，两者等价。



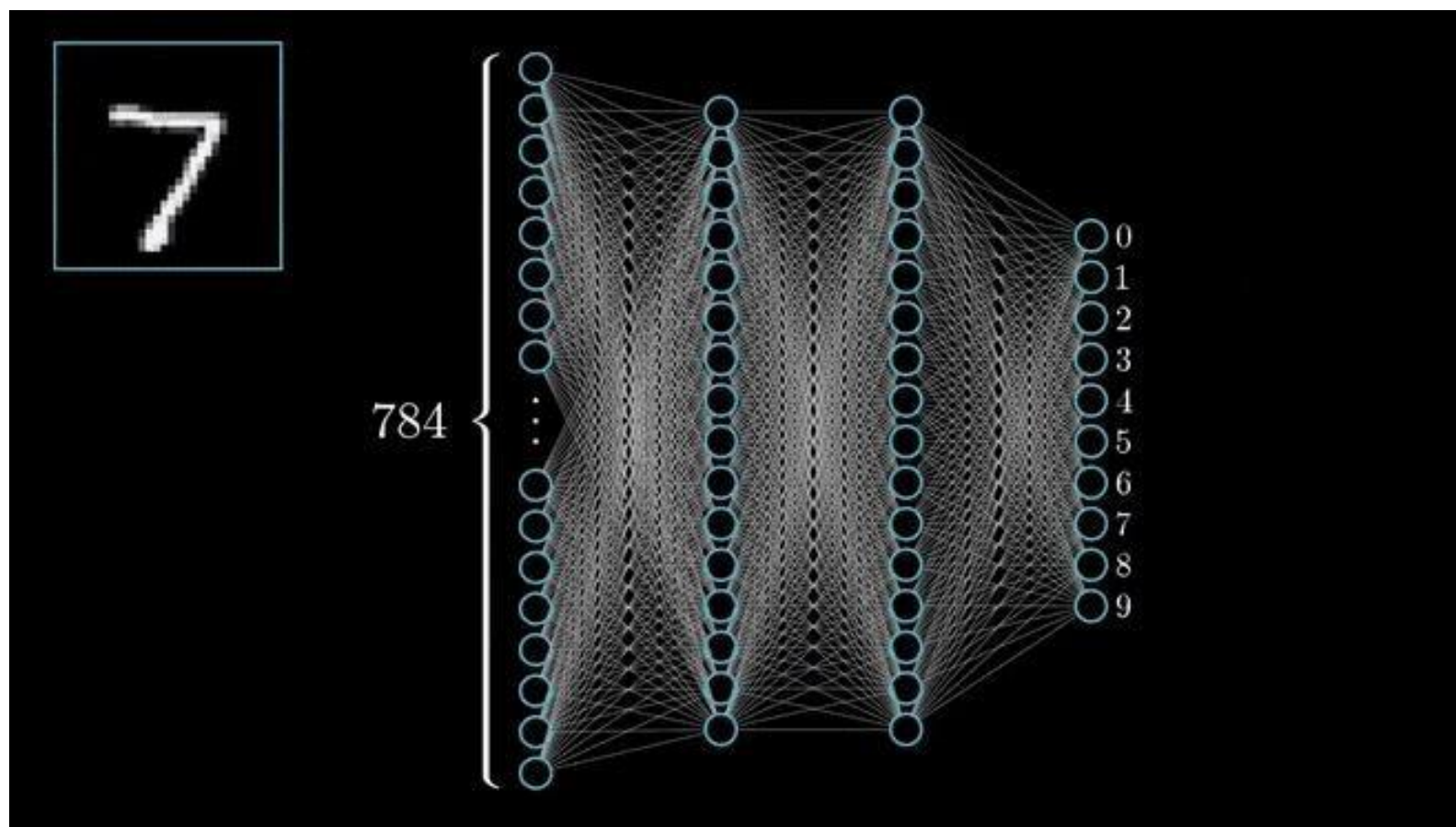
SoftPlus is a smooth approximation to the ReLU function and can be used to constrain the output of a machine to always be positive.

★ Softplus 函数

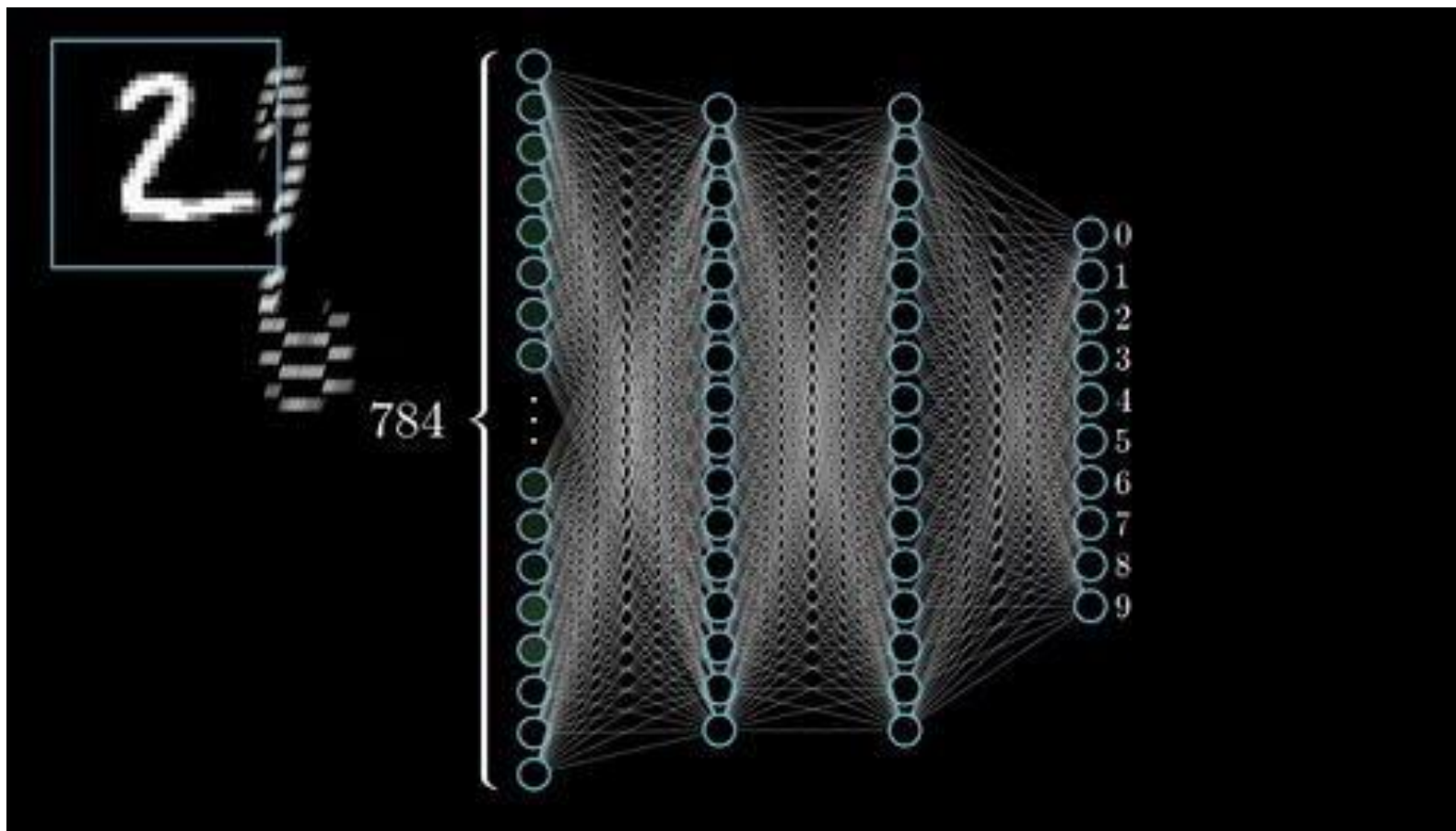
$$\text{Softplus}(x) = \log(1 + \exp(x))$$



全连接前馈神经网络

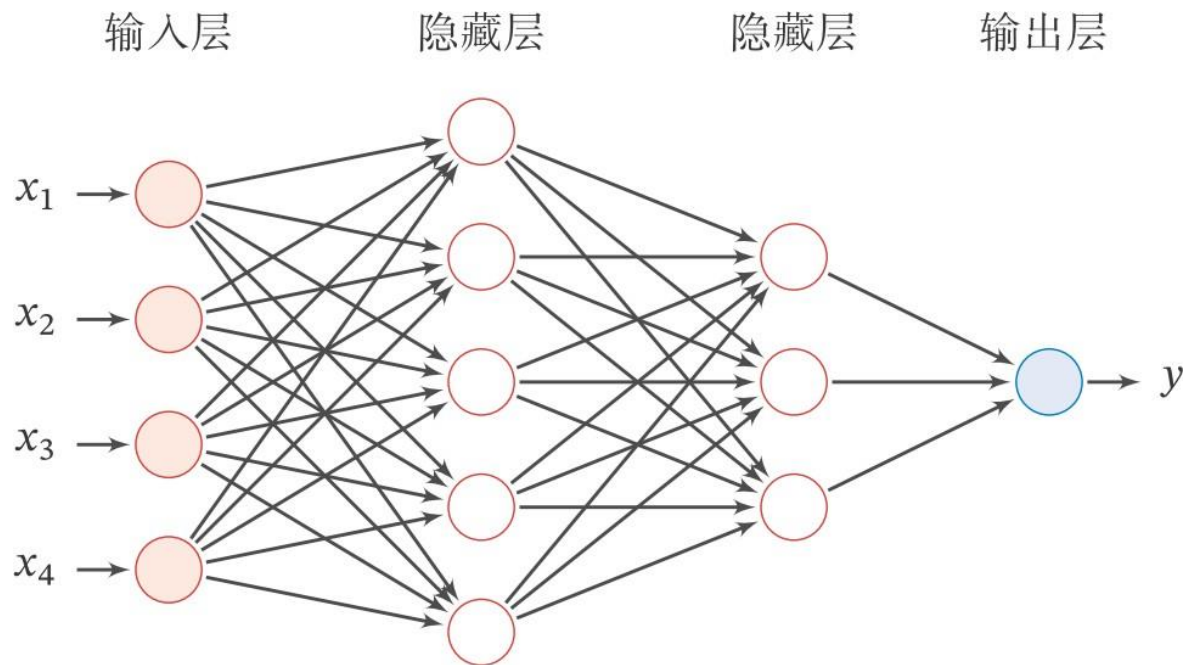


全连接前馈神经网络



全连接前馈神经网络

和上一层fully-connected, 层内神经元相互独立



神经网络的层数

M_l

第 l 层神经元的个数

$f_l(\cdot)$

第 l 层神经元的激活函数

$\mathbf{W}^{(l)} \in \mathbb{R}^{M_l \times M_{l-1}}$

第 $l-1$ 层到第 l 层的权重矩阵

$\mathbf{b}^{(l)} \in \mathbb{R}^{M_l}$

第 $l-1$ 层到第 l 层的偏置

$\mathbf{z}^{(l)} \in \mathbb{R}^{M_l}$

第 l 层神经元的净输入 (净活性值)

$\mathbf{a}^{(l)} \in \mathbb{R}^{M_l}$

第 l 层神经元的输出 (活性值)

$$\mathbf{a}^{(0)} = \mathbf{x}$$

$$\mathbf{a}^{(l)} = f_l(\mathbf{z}^{(l)})$$

$$\mathbf{z}^{(l)} = \mathbf{W}^{(l)} \mathbf{a}^{(l-1)} + \mathbf{b}^{(l)}$$

$$\mathbf{x} = \mathbf{a}^{(0)} \rightarrow \mathbf{z}^{(1)} \rightarrow \mathbf{a}^{(1)} \rightarrow \mathbf{z}^{(2)} \rightarrow \dots$$

$$\rightarrow \mathbf{a}^{(L-1)} \rightarrow \mathbf{z}^{(L)} \rightarrow \mathbf{a}^{(L)} = \phi(\mathbf{x}; \mathbf{W}, \mathbf{b}) \longrightarrow \mathcal{L}(\mathbf{y}, \hat{\mathbf{y}})$$

本质就是在做矩阵运算! 需要用梯度反向传播去更新模型参数 (参数矩阵)

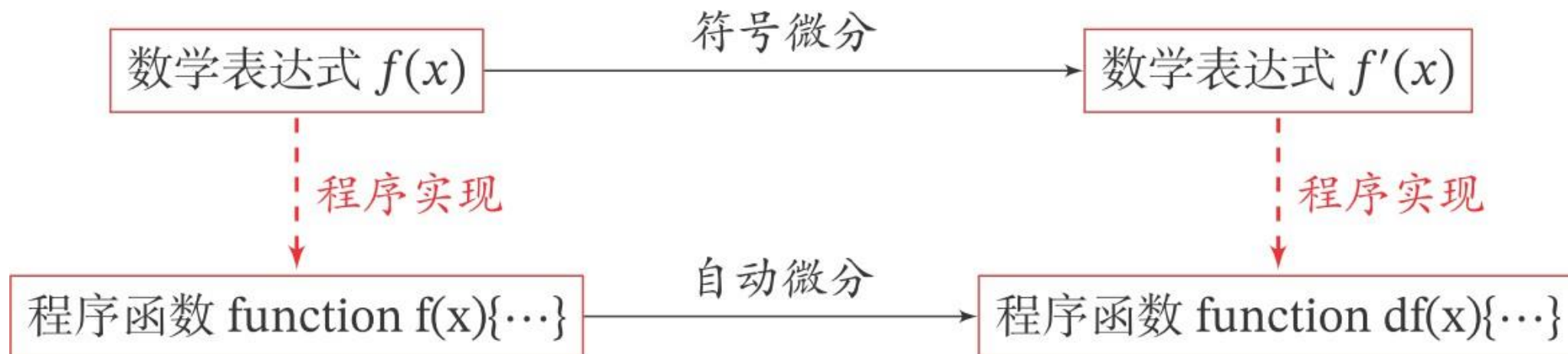
反向传播

$$\mathbf{x} = \mathbf{a}^{(0)} \rightarrow \mathbf{z}^{(1)} \rightarrow \mathbf{a}^{(1)} \rightarrow \mathbf{z}^{(2)} \rightarrow \dots \rightarrow \mathbf{a}^{(L-1)} \rightarrow \mathbf{z}^{(L)} \rightarrow \mathbf{a}^{(L)} \rightarrow \mathcal{L}(\mathbf{y}, \hat{\mathbf{y}})$$

$$\delta^{(1)} \leftarrow \dots \dots \dots \dots \dots \dots \leftarrow \delta^{(L-1)} \leftarrow \delta^{(L)}$$

- (1) 前馈计算每一层的净输入 $\mathbf{z}^{(l)}$ 和激活值 $\mathbf{a}^{(l)}$, 直到最后一层;
- (2) 反向传播计算每一层的误差项 $\delta^{(l)}$;
- (3) 计算每一层参数的偏导数, 并更新参数.

自动微分 (Automatic Differentiation, AD)



通过编程语言中的函数来表示数学函数，然后利用链式法则自动计算导数。这种方法的优点是可以直接在计算机上实现复杂的函数和多变量函数的导数计算，而不需要人工进行符号推导。

神经网络Python实践



神经网络Python实践

• 步骤

■ 准备数据

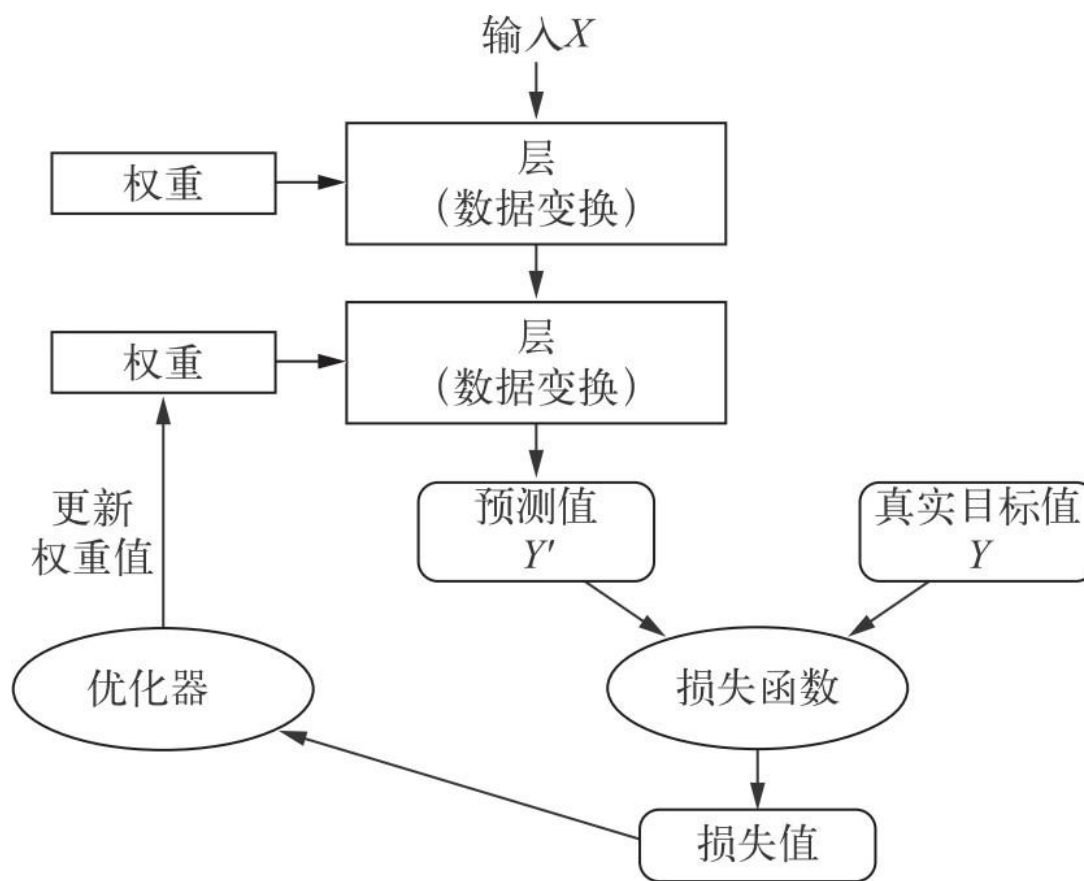
■ 定义由层+结构刻画的网络

■ 设定学习细节:

- 1 损失函数
- 2 优化方法
- 3 评估指标

■ 网络学习

■ 网络使用与存储

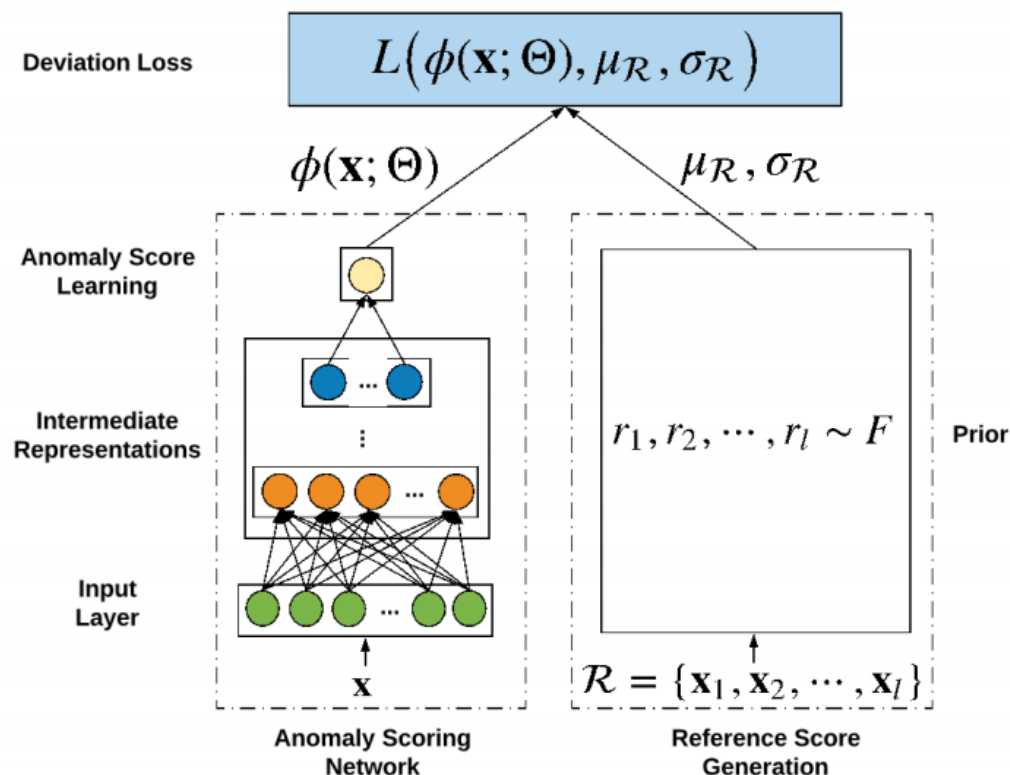


神经网络Python实践

代码示例：

 [deep-learning-with-python-notebooks](#)

DevNet, Guansong Pang et al. KDD 2019



- 另外一种对于异常检测进行建模的方式在于构建端到端（end-to-end）的模型，这种方法训练神经网络直接学习映射 $f(x)=score$ ，而不是采用auto-encoder或者GANomaly的two-stage方法，先重构，再计算score。
- End-to-end方式理论上能获得更好的效果，模型的训练效果与检测性能关联性更强。

Table 1: AUC-ROC and AUC-PR Performance (with \pm standard deviation) of DevNet and Four Competing Methods. #obj. is the overall data size, D is the dimensionality size, f_1 and f_2 denote the percentage that the labeled anomalies respectively comprise in the training data and the total anomalies. D in *URL* and *news20*, i.e., ‘3M’ and ‘1M’, are short for 3,231,961 and 1,355,191, respectively. The best performance is boldfaced.

Data Characteristic					AUC-ROC Performance					AUC-PR Performance				
Data	#obj.	D	f_1	f_2	DevNet	REPEN	DSVDD	FSNet	iForest	DevNet	REPEN	DSVDD	FSNet	iForest
donors	619,326	10	0.01%	0.08%	1.000 \pm 0.000	0.975 \pm 0.005	0.995 \pm 0.005	0.997 \pm 0.002	0.874 \pm 0.015	1.000 \pm 0.000	0.508 \pm 0.048	0.846 \pm 0.114	0.994 \pm 0.002	0.221 \pm 0.025
census	299,285	500	0.01%	0.16%	0.828 \pm 0.008	0.794 \pm 0.005	0.835 \pm 0.014	0.732 \pm 0.020	0.624 \pm 0.020	0.321 \pm 0.004	0.164 \pm 0.003	0.291 \pm 0.008	0.193 \pm 0.019	0.076 \pm 0.004
fraud	284,807	29	0.01%	6.10%	0.980 \pm 0.001	0.972 \pm 0.003	0.977 \pm 0.001	0.734 \pm 0.046	0.953 \pm 0.002	0.690 \pm 0.002	0.674 \pm 0.004	0.688 \pm 0.004	0.043 \pm 0.021	0.254 \pm 0.043
celeba	202,599	39	0.02%	0.66%	0.951 \pm 0.001	0.894 \pm 0.005	0.944 \pm 0.003	0.808 \pm 0.027	0.698 \pm 0.020	0.279 \pm 0.009	0.161 \pm 0.006	0.261 \pm 0.008	0.085 \pm 0.012	0.065 \pm 0.006
backdoor	95,329	196	0.04%	1.29%	0.969 \pm 0.004	0.878 \pm 0.007	0.952 \pm 0.018	0.928 \pm 0.019	0.752 \pm 0.021	0.883 \pm 0.008	0.116 \pm 0.003	0.856 \pm 0.016	0.573 \pm 0.167	0.051 \pm 0.005
URL	89,063	3M	0.04%	1.69%	0.977 \pm 0.004	0.842 \pm 0.006	0.908 \pm 0.027	0.786 \pm 0.047	0.720 \pm 0.032	0.681 \pm 0.022	0.103 \pm 0.003	0.475 \pm 0.040	0.149 \pm 0.076	0.066 \pm 0.012
campaign	41,188	62	0.10%	0.65%	0.807 \pm 0.006	0.723 \pm 0.006	0.748 \pm 0.019	0.623 \pm 0.024	0.731 \pm 0.015	0.381 \pm 0.008	0.330 \pm 0.009	0.349 \pm 0.023	0.193 \pm 0.012	0.328 \pm 0.022
news20	10,523	1M	0.37%	5.70%	0.950 \pm 0.007	0.885 \pm 0.003	0.887 \pm 0.000	0.578 \pm 0.050	0.328 \pm 0.016	0.653 \pm 0.009	0.222 \pm 0.004	0.253 \pm 0.001	0.082 \pm 0.010	0.035 \pm 0.002
thyroid	7,200	21	0.55%	5.62%	0.783 \pm 0.003	0.580 \pm 0.016	0.749 \pm 0.011	0.564 \pm 0.017	0.688 \pm 0.020	0.274 \pm 0.011	0.093 \pm 0.005	0.241 \pm 0.009	0.116 \pm 0.014	0.166 \pm 0.017
Average					0.916 \pm 0.004	0.838 \pm 0.006	0.888 \pm 0.011	0.750 \pm 0.028	0.708 \pm 0.018	0.574 \pm 0.008	0.263 \pm 0.010	0.473 \pm 0.025	0.270 \pm 0.037	0.140 \pm 0.015
P-value					-	0.004	0.023	0.004	0.004	-	0.004	0.004	0.004	0.004

频率	时间维度	变量维度
最大	交易前10天	交易笔数
平均	交易前5天	入账交易笔数
累计	交易前1天	出账交易笔数
	交易当天至交易时刻	同交易对手交易笔数
	交易前10小时	同交易对手入账笔数
	交易前5小时	同交易对手出账笔数
	交易前3小时	交易对手个数
	交易前1小时	入账交易对手个数
	交易前30分钟	出账交易对手个数
	交易前10分钟	交易金额
	交易前1分钟	入账交易金额
		出账交易金额
		同交易对手交易金额
		同交易对手入账金额
		同交易对手出账金额

模型的输入数据可以用构建衍生变量的形式捕捉宝贵的时序信息，也可以直接利用时序数据，结合能够捕捉序列信息的模型（例如RNN以及Transformer），为下游异常检测任务提供强有力的backbone。

已知的欺诈案例往往是少量、宝贵的，数据类别极端不平衡。合适的损失函数（例如deviation loss）能够显著提升模型效果！

Anomaly Detection with Score Distribution Discrimination, KDD 2023

<https://arxiv.org/pdf/2306.14403>